

УДК 519.85

*Кашина О.А, кандидат физико-математических наук, доцент, Институт вычислительной математики и информационных технологий ФГАОУ ВПО «Казанский федеральный университет».*

## ЭКСПЕРИМЕНТАЛЬНОЕ ИССЛЕДОВАНИЕ ПРЕДЕЛЬНЫХ СВОЙСТВ РЕШЕНИЯ ДВУХУРОВНЕВОЙ ЗАДАЧИ РАСПРЕДЕЛЕНИЯ РЕСУРСОВ В БЕСПРОВОДНЫХ СЕТЯХ

*Аннотация: Работа посвящена исследованию свойств решений задачи оптимального распределения ресурса в беспроводных сетях с мобильными абонентами на бесконечном горизонте планирования. Актуальность задачи обусловлена быстрым развитием систем мобильной связи, в том числе беспроводных распределённых самоорганизующихся сетей, состоящих из большого количества элементов, каждый из которых может выступать как в качестве источника, так и в качестве получателя пакетов данных. Передача данных осуществляется посредством радиоканала, ширина которого и подлежит распределению.*

*Ключевые слова: беспроводная сеть; мобильные абоненты; радиоканал; задача распределения ресурса; двухуровневая оптимизация; декомпозиция; функция Лагранжа; одномерная минимизация; стабилизация решения.*

Рассмотрим «двухуровневую» задачу распределения ресурса в сетях с мобильными абонентами [1], состоящую в оптимальном распределении ресурса сети (ширины частотной полосы радиоканала) между зонами, на которые разбивается область покрытия сети. Значение целевой функции задачи в каждой точке вычисляется, исходя из предположения о том, что распределение выделенного ресурса между абонентами, находящимися в этой зоне, также осуществляется оптимально. Предполагается, что лицо, принимающее решение (ЛПР) на верхнем уровне – уровне сети («менеджер сети»), периодически получает информацию о фактических координатах абонентов сети и решает задачу с обновлёнными данными. Некоторые параметры задачи также подвержены изменениям во времени. Нас интересуют свойства последовательности решений задачи при стремлении номера наблюдения к бесконечности.

Введём обозначения (для краткости будем опускать обозначение момента времени решения задачи, когда речь идёт об одном фиксированном моменте) –

все дальнейшие обозначения (там, где это не оговаривается особо) относятся к фиксированному моменту времени.

Пусть  $C$  – общее количество распределяемого ресурса (ширина частотной полосы радиоканала);  $Z$  – количество зон, на которые разбивается область покрытия сети;  $a_z$  – искомое количество ресурса, выделяемое зоне  $z$ ; величина  $h_z(a_z)$  – расходы, связанные с выделением зоне  $z$  ресурса в количестве  $a_z$ ;  $f_z(a_z)$  – доход, получаемый ЛПР от выделения зоне  $z$  ресурса в количестве  $a_z$  (при оптимальном распределении этого количества ресурса между абонентами, находящимися в зоне  $z$ ),  $z = 1, \dots, Z$ .

Задача, решаемая в некоторый момент времени, состоит в том, чтобы оптимально распределить ресурс между зонами, при условии, что выделенный зоне ресурс оптимально распределяется между её абонентами:

$$\max \rightarrow \sum_{z=1}^Z (f_z(a_z) - h_z(a_z)) \quad (1)$$

$$\sum_{z=1}^Z a_z \leq C, \quad (2)$$

$$a_z \geq 0, \quad z = 1, \dots, Z. \quad (3)$$

Будем считать, что для всех  $z = 1, \dots, Z$  функции  $h_z$  выпуклые, возрастающие при  $a_z \geq 0$ ; функции  $f_z$  заданы алгоритмически – посредством решения задачи:

$$\sum_{j \in I_z} U_j(x_j) \rightarrow \max \quad (4)$$

$$\sum_{j \in I_z} x_j \leq a_z, \quad (5)$$

$$\alpha_j \leq x_j \leq \beta_j, \quad \forall j \in I_z \quad (6)$$

Здесь  $z$  – номер зоны ( $z \in \{1, \dots, Z\}$ ),  $I_z$  – множество номеров абонентов, находящихся в зоне  $z$ ; величина  $x_j$  – искомое количество ресурса, получаемого абонентом  $j$ ; величина  $U_j(x_j)$  – плата абонента  $j$  за полученный им ресурс в количестве  $x_j$ ; величины  $\alpha_j$  и  $\beta_j$  – нижнее и верхнее допустимые значения переменной  $x_j$ ,  $j \in I_z$ . Здесь функции  $U_j$  предполагаются вогнутыми на  $[\alpha_j, \beta_j]$ ,  $j \in I_z, z=1, \dots, Z$ .

Таким образом,

$$f_z(a_z) \equiv \max_{x^z \in X_z} \sum_{j \in I_z} U_j(x_j), \quad (7)$$

где  $x^z$  – вектор, составленный из компонент  $x_j$ ,  $j \in I_z$ ;  $X_z$  – допустимое множество задачи (4) – (6) при фиксированном  $z \in \{1, \dots, Z\}$ .

Как уже отмечалось выше, в формулировке задачи (1) – (3) (а значит, и задачи (4) – (6) для всех  $z$ ) момент времени предполагается фиксированным (обозначим его через  $k$ ). Значения параметров задачи в момент  $k+1$ , вообще говоря, отличаются от значений, имевших место быть в момент  $k$ : ввиду мобильности абонентов изменяется состав множеств  $I_z$ , ввиду наличия случайных ошибок (неточностей измерений) меняются значения параметров функций  $h_z$  (тарифы).

Для решения задачи (1) – (3) в фиксированный момент времени применим декомпозиционный подход [2, 3].

Зафиксируем номер  $z$ , введём переменную  $\mu$  и запишем функцию Лагранжа (например, [4, с. 196]) для задачи (4) – (6):

$$L_z(x^z, a_z, \mu) \equiv \sum_{j \in I_z} (-U_j(x_j)) + \mu \cdot \left( \sum_{j \in I_z} x_j - a_z \right). \quad (8)$$

С помощью функции (8) перепишем (7) в виде:

$$f_z(a_z) \equiv \min_{x^z \in \Pi_z} \max_{\mu \geq 0} L(x^z, a_z, \mu), \quad (9)$$

где  $\Pi_z$  – прямое произведение отрезков  $\Omega_j \equiv [\alpha_j, \beta_j]$ ,  $j \in I_z$ . С помощью несложных преобразований функции (8) и изменения порядка оптимизации в (9) запишем

$$f_z(a_z) \equiv \max_{\mu \geq 0} \left( -\mu \cdot a_z + \min_{x^z \in \Pi_z} \left( \sum_{j \in I_z} (\mu \cdot x_j - U_j(x_j)) \right) \right). \quad (10)$$

«Внутренняя» задача в (10), т.е.

$$\min_{x^z \in \Pi_z} \left( \sum_{j \in I_z} (\mu \cdot x_j - U_j(x_j)) \right),$$

при фиксированных значениях  $z$  и  $\mu$  распадается на одномерные задачи:

$$\min_{x_j \in \Omega_j} (\mu \cdot x_j - U_j(x_j)), \quad j \in I_z. \quad (11)$$

Обозначим через  $x_j^*(\mu)$  решение задачи (11) при фиксированных  $z$ ,  $j \in I_z$ ,  $\mu$ .

Тогда (10) примет вид:

$$f_z(a_z) \equiv \max_{\mu \geq 0} \left( -\mu \cdot a_z + \sum_{j \in I_z} (\mu \cdot x_j^*(\mu) - U_j(x_j^*(\mu))) \right).$$

Обозначим здесь максимизируемую функцию через

$$\varphi_z(\mu, a_z) \equiv -\mu \cdot a_z + \sum_{j \in I_z} (\mu \cdot x_j^*(\mu) - U_j(x_j^*(\mu))). \quad (12)$$

Тогда

$$f_z(a_z) \equiv \max_{\mu \geq 0} \varphi_z(\mu, a_z). \quad (13)$$

Таким образом, мы получили способ вычисления значения  $f_z(a_z)$ , предполагающий решение задачи (13) любым из методов одномерной минимизации ну-

левого порядка. На каждом шаге реализации этого метода для вычисления значения (12) при фиксированных  $\mu$ ,  $z$  и  $a_z$  необходимо решить  $|I_z|$  задач вида (11), каждая из которых состоит в минимизации одномерной функции (функции от переменной  $x_j$ ).

Теперь задача (1) – (3) может быть решена любым методом вогнутой максимизации (выпуклой минимизации) нулевого порядка. Однако при решении двухуровневых задач имеет смысл организовать параллельные вычисления, выполнив декомпозицию задачи. Для этого запишем (1) как

$$\min \rightarrow \sum_{z=1}^Z \left( -f_z(a_z) + h_z(a_z) \right). \quad (14)$$

Введём переменную  $\lambda$  и запишем функцию Лагранжа для задачи (14), (2), (3):

$$\Lambda(a, \lambda) \equiv \sum_{z=1}^Z \left( -f_z(a_z) + h_z(a_z) \right) + \lambda \left( \sum_{z=1}^Z a_z - C \right), \quad (18)$$

где  $a = (a_1, \dots, a_Z)$ . Рассуждая как выше, получим задачу:

$$\max_{\lambda \geq 0} \xi(\lambda), \quad (15)$$

где

$$\xi(\lambda) \equiv -\lambda \cdot C + \sum_{z=1}^Z \left( \lambda \cdot a_z^*(\lambda) - f_z(a_z^*(\lambda)) + h_z(a_z^*(\lambda)) \right), \quad (16)$$

$a_z^*(\lambda)$  – решение задачи:

$$\min_{a_z \geq 0} (\lambda a_z - f_z(a_z) + h_z(a_z)) \quad (17)$$

при фиксированных  $z$  и  $\lambda$ . Понятно, что задача (17) может быть решена любым методом одномерной минимизации 0-го порядка, а задача (15) – любым методом одномерной максимизации 0-го порядка.

Итак, решая (каким-либо методом одномерной максимизации) задачу (15), получаем (с заданной точностью) оптимальное решение  $\lambda^*$ , оптимальное значение критерия задачи (1) – (3), равное  $\xi(\lambda^*)$ , оптимальное количество ре-

сурса, выделяемое каждой зоне  $z$ , равное  $a_z^*(\lambda^*)$ , а также оптимальное количество ресурса, выделяемое абоненту  $j$ , равное  $x_j^*(\mu_z^*)$ ,  $j \in I_z$ , где  $\mu_z^*$  – решение задачи (16) при фиксированных  $z$ ,  $a_z$ .

Обсудим вычислительные аспекты решения задачи (1) – (3). Реализация метода одномерной максимизации для задачи (15) предполагает вычисление величины  $\xi(\lambda)$ , что согласно (16) означает необходимость решения (каким-либо методом одномерной минимизации)  $Z$  задач (17) при фиксированном  $\lambda$ . В свою очередь, вычисление значения целевой функции задачи (17) при заданном  $a_z$  требует нахождения значения  $f_z(a_z)$  путём решения задачи (13), для чего нужно решить  $|I_z|$  задач (11) (тем же или другим методом одномерной минимизации). При проведении численных экспериментов мы использовали один и тот же метод одномерной оптимизации – метод золотого сечения (см., например, [4, с. 84], там же можно найти некоторые другие методы одномерной оптимизации).

Модельные функции были выбраны следующим образом: функции  $U_j$  полагались квадратичными вогнутыми и такими, что  $U_j(\alpha_j) < U_j(\beta_j)$ ; параметры функций  $U_j$  генерировались случайным образом (они оставались постоянными на всём временном горизонте); функции  $h_z$  были линейными, а именно,  $h_z(a_z) \equiv w_z a_z$ ; все  $\alpha_j \equiv 0$ . Для проведения расчётов использовался пакет аналитических вычислений Wolfram Research Mathematica. Экспериментальным путём было получено правило согласования точности решения задачи одномерной минимизации на разных «уровнях вложенности»:  $\varepsilon_{i+1} = 0,1 * \varepsilon_i$ , где  $i$  – уровень задачи ( $i=1$  обозначает задачу (11),  $i=2$  – задачу (10),  $i=3$  – задачу (17),  $i=4$  – задачу (15)),  $\varepsilon_i$  – длина отрезка локализации задачи уровня  $i$ . Полученное правило означает, что чем точнее локализуется решение задачи «верхнего уровня», тем выше требования к точности решения «внутренней» задачи.

На Рис.1 приведён результат решения одной из тестовых задач. Столбцы первой из таблиц имеют следующий смысл (слева направо): номер зоны  $z$ ; ко-

личество абонентов в зоне  $z$ ; значение тарифа  $w_z$  (платы за использование единицы ресурса); искомая величина  $a_z$ ; «чистый» доход зоны  $z$  – значение  $f_z(a_z)$ ; расходы зоны  $z$  – значение  $h_z(a_z)$ ; прибыль зоны  $z$  – разность  $f_z(a_z)$  и  $h_z(a_z)$ . В последней строке указаны суммы значений соответствующих столбцов (последняя ячейка содержит найденное значение целевой функции задачи (1) – (3)). Столбцы второй таблицы, представленной на Рис. 1, имеют следующий смысл (слева направо): номер абонента; номер зоны, в которой находится абонент (на момент решения задачи); значение  $\beta_j$ ; значение  $x_j$ , соответствующее решению, представленному в первой таблице.

Optimal resource distribution :

Zone $\Pi$	N nodes	Tariff	Resource	Income	Expenses	Pure profit
1	3	19	45.4001	2532.92	862.601	1670.32
2	5	12	96.5001	3645.55	1158.	2487.55
3	4	17	64.6001	2948.68	1098.2	1850.48
	12		206.5	9127.15	3118.8	6008.35

Resource amount allotted to nodes :

$\Pi$	$\mathbb{N}$	beta	x
1	3	21.	5.20002
2	7	8.4	0
3	11	70.	40.2
4	1	56.	33.7
5	4	18.2	6.70002
6	8	35.	18.7
7	10	21.	8.70002
8	12	49.	28.7
9	2	7.	0
10	5	42.	21.2
11	6	63.	36.2
12	9	22.4	7.20002

Рис. 1. Результат решения одной из тестовых задач

Рассмотрим теперь поведение последовательности решений задачи (1) – (3) в бесконечности. Обозначим через  $k$  номер момента времени, в который решается задача; пусть  $I_z^k$  – множество номеров абонентов, находящихся в зоне  $z$  в момент  $k$ . Предположим, что тарифы подвержены затухающему «белому шу-

му», т.е.  $w_z^k = w_z + \xi_k$ , где  $w_z^k$  – значение тарифа в зоне  $z$  в момент  $k$ , а  $\xi_k$  представляет собой гауссову случайную величину с нулевым математическим ожиданием и среднеквадратическим отклонением  $\sigma_k$ , таким что  $\sigma_k \rightarrow 0$  при  $k \rightarrow \infty$ . Относительно поведения абонентов будем считать, что они могут свободно перемещаться между зонами в соответствии с заданными вероятностями:  $p_{j,z}^k \equiv p\{\text{в момент } k \text{ абонент } j \text{ находится в зоне } z\}$ . При проведении численных экспериментов эти вероятности генерировались случайным образом и сохранялись постоянными для всей серии экспериментов? т.е.  $p_{j,z}^k \equiv p_{j,z}$  при всех  $k$ .

Обозначим через  $F_k$  оптимальное значение целевой функции задачи (1)–(3) при  $I_z = I_z^k$  и  $w_z = w_z^k$ ; обозначим через  $v_{j,z}^k$  относительную частоту нахождения абонента  $j$  в зоне  $z$  к моменту  $k$ ; тогда  $d_k \equiv \sum_{j \in I_z} (\frac{v_{j,z}^k}{k} - p_{j,z})^2$  есть «невязка», т.е. суммарная мера расхождения между относительными частотами и вероятностями событий «абонент  $j$  находится в зоне  $z$ ». Положим  $\bar{F}^k = \frac{\sum_{l=1}^k F^l}{k}$  – среднее значение целевой функции задачи (1) – (3), вычисленное на момент  $k$ ;

$S_F^k = \sqrt{\frac{\sum_{l=1}^k (F^l - \bar{F}^k)^2}{k}}$  – среднеквадратическое отклонение значений целевой функции от среднего на момент  $k$ ;  $v_k \equiv \frac{S_F^k}{F^k}$  – значение коэффициента вариации на момент  $k$ .

Мы провели экспериментальное исследование поведения последовательностей  $\{d_k\}$ ,  $\{F_k\}$  и  $\{v_k\}$  при  $k \rightarrow \infty$ . Результаты вычислений приведены на Рис. 2 – 4. Ось абсцисс на всех трёх представленных графиках соответствует номеру  $k$ , по оси ординат отложены значения  $d_k$ ,  $F_k$  и  $v_k$ , соответственно.

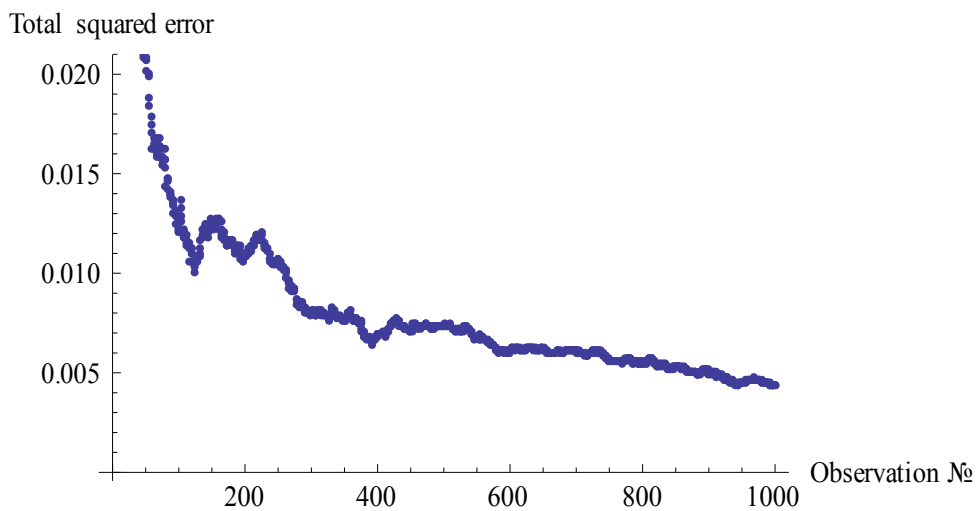


Рис. 2. График последовательности  $\{d_k\}$

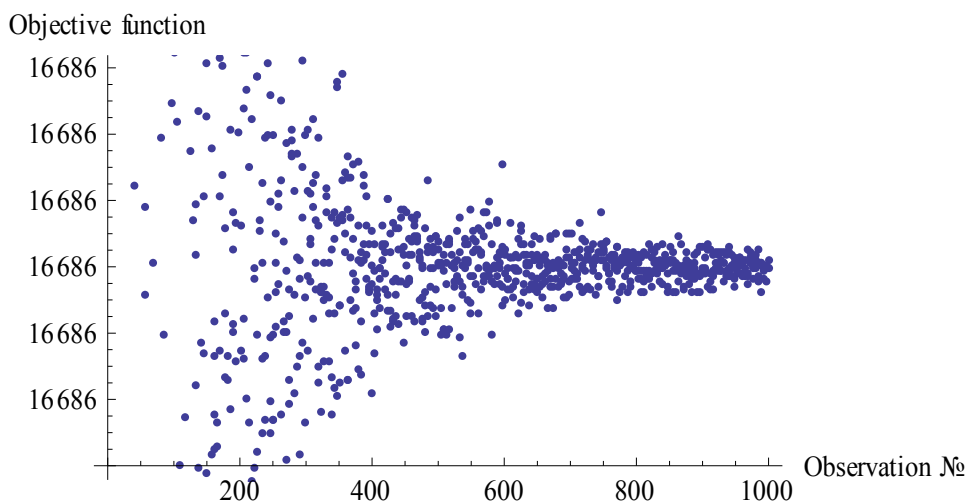


Рис. 3. График последовательности  $\{F_k\}$

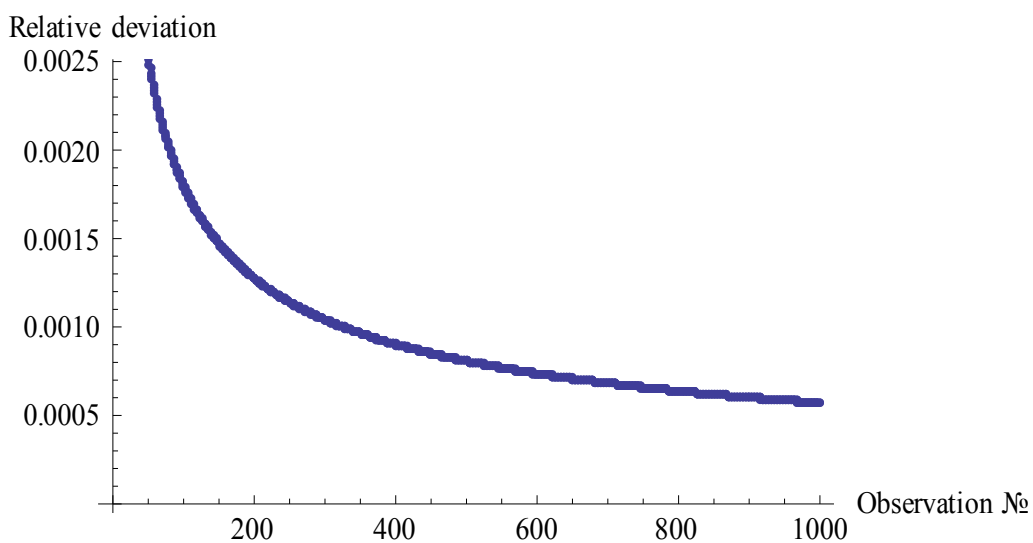


Рис. 4. График последовательности  $\{v_k\}$

Стремление к 0 последовательности  $\{d_k\}$  (см. Рис. 2) вполне ожидаемо – оно непосредственно следует из общеизвестного статистического определения вероятности. Более информативны графики, представленные на Рис. 3 и 4 – они свидетельствуют о том, что при стабилизации (стремлении к константе) тарифов  $w_z^k$  происходит стабилизация решения задачи (1) – (3). Для ЛПР это означает возможность на практике выбирать моменты решения задачи на основе анализа предыдущих решений и с использованием информации о фактическом местоположении абонентов (а не на основе вероятностных прогнозов).

*Автор выражает благодарность профессору КФУ Игорю Васильевичу Коннову за идею и полезные обсуждения при выполнении работы и студентке КФУ Диане Хасановой за помощь в проведении численных экспериментов.*

#### Литература

1. Konnov I.V., Kashina O.A., Laitinen E. Optimisation problems for control of distributed resources // International Journal of Modelling, Identification and Control. - 2011. - V.14, No 1-2. - P.65-72.
2. Konnov I.V., Kashina O.A., Laitinen E. Two-level decomposition method for resource allocation in telecommunication network // International Journal of Digital Information and Wireless Communications. - 2012. - V.2, No 2. - P. 150-155.
3. Konnov, Igor; Kashina, Olga; Laitinen, Erkki; Dual decomposition scheme for resource allocation problem in networks with moving nodes, 2012 Second International Conference on Digital Information Processing and Communications (ICDIPC), DOI: 10.1109/ICDIPC.2012.6257273. - 2012. - P. 31 – 35.
4. Коннов И.В. Нелинейная оптимизация и вариационные неравенства. – Казань, КГУ, 2013. – 508 с.

---

*Kashina, O.A, Candidate of Sciences (Mathematics and Physics), Associate Professor of Institute of Computer Mathematics and Information Technologies, Kazan Federal University*

# EXPERIMENTAL STUDY OF LIMIT PROPERTIES OF SOLUTIONS TO A TWO-LEVEL RESOURCE ALLOCATION PROBLEM IN WIRELESS NETWORKS

*Abstract: We study properties of solutions to a resource allocation problem in wireless networks over an infinite planning horizon. The relevance of the problem is due to the rapid development of mobile communication networks, including distributed self-organizing ones consisting of a large number of elements, each of which can serve both as a source and as a receiver of data packets. Data are transmitted via a radio channel, whose width is to be distributed among zones.*

*Key words: wireless network; mobile nodes; radio channel; resource allocation problem; two-level optimization; decomposition; Lagrange function; one-dimensional minimization; solution stabilization.*